

(520) Ti-Cr-Nb添加極低炭素冷延鋼板の $\bar{r}$ 値におよぼす冷延条件の影響

日新製鋼(株)呉研究所 ○田中康司 川瀬尚男

1. 緒言 冷延鋼板の $\bar{r}$ 値におよぼす冷延ロール径および1パス圧下量の影響が佐柳ら<sup>1)~4)</sup>によって検討され、Ti添加鋼では $\bar{r}$ 値と $\alpha/h_m$ (各パスの荷重平均した噛込角/平均板厚)との間に相関のあることが報告されている。<sup>4)</sup>しかし、 $\phi 150$ より小さいロール径の場合や、全圧下率が変化する場合については明確にされていない。

ここでは、Ti-Cr-Nb鋼を用い、全圧下率を変化させて、箱焼鈍の $\bar{r}$ 値と $\Delta r$ 値に及ぼす冷延ロール径、冷延1パス圧下量の影響を調査した。

2. 実験方法 供試材は、実機製造された熱延材(仕上温度920°C、巻取温度700°C)で、化学成分をTable 1に示す。ラボ実験：4.5mm tの熱延板をロール径 $\phi 70$ と $\phi 350$ の冷延機により、平均1パス圧下量を0.05~0.4mm、全圧下率を50~80%の範囲にそれぞれ変化させて冷延した。冷延は切板で行ない、潤滑油はミネラル油を用いた。その後800°C×4hrの焼鈍を行ない $\bar{r}$ 値と集合組織を測定。Table 1 Chemical composition of steel.

した。工場試作：5.2mm tの熱延コイルをロール径 $\phi 86$ のリバースミル(9パス)で、4.5mm tの熱延コイルを

C	Si	Mn	P	S	Cr	Ti	Nb	sol Al
0.003	0.019	0.14	0.011	0.008	0.14	0.07	0.06	0.024

ロール径 $\phi 450$ のタンデムミル(6パス)で、それぞれ1.2mm tに冷延後、800°C×4hrの箱焼鈍、および0.8%の調質圧延を施した。

3. 実験結果 (1)  $\bar{r}$ 値は、 $\phi 350$ ロールでは1パス圧下量0.1mmで最大となり、 $\phi 70$ ロールでは、1パス圧下量の増大とともに大きくなる(Fig. 1)。 $\Delta r$ は $\phi 70$ ロールの方が小さい。また $\phi 70$ ロールでは、1パス圧下量の小さい方が $\Delta r$ は小さくなる(Fig. 2)。

(2)  $\phi 70$ ロールでは、 $\alpha/h_m$ が増すと $\bar{r}$ 値が大きくなるが、 $\phi 350$ ロールでは逆の結果となり、ロール径による $\bar{r}$ 値の差を $\alpha/h_m$ で整理することはできなかった(Fig. 3)。

(3)  $\alpha/h_m$ が小さいときに $\phi 70$ ロールでの $\bar{r}$ 値が小さくなるのは、板厚方向で平均化した極密度の測定結果と対応しており(Fig. 4), 極密度の変化には表層部の寄与が大きい。

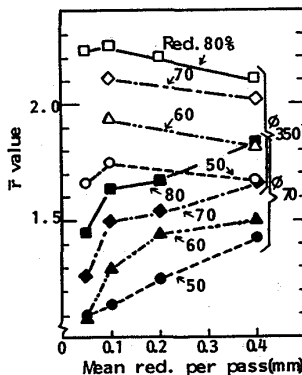
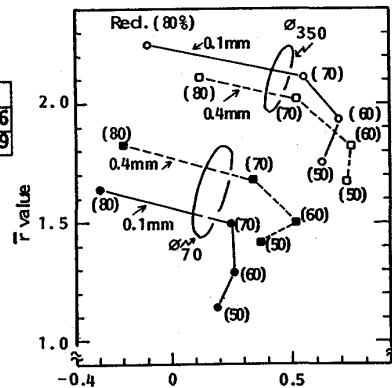
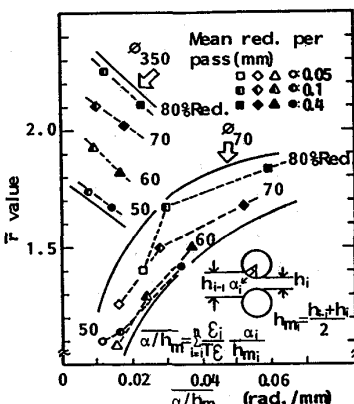
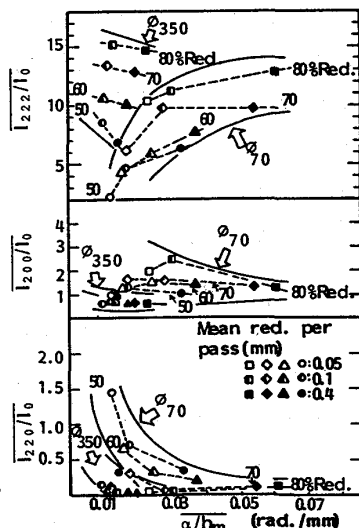
(4) 工場試作でも、ロール径の減少により、 $\bar{r}$ 値と $\Delta r$ 値がともに低下することが確認された(Table 2)。

## 参考文献

- 1) 河野ら；鉄と鋼, 68(1982) S382
- 2) 佐柳ら；鉄と鋼, 68(1982) S1421
- 3) 河野ら；鉄と鋼, 71(1985) S651
- 4) 佐柳ら；鉄と鋼, 71(1985) S1354

Table 2 Tensile properties of mill-produced sheet.

R.dia.	Y.S	T.S	T.EI	$r_0$	$r_{0.5}$	$r_{50}$	$\bar{r}$
$\phi 86$	13.4	30.0	50.9	1.36	1.81	2.07	1.76
$\phi 450$	13.3	30.0	51.5	1.79	2.05	2.46	2.09

Fig. 1 Reduction per pass and  $\bar{r}$  value.Fig. 2 Relation between  $\bar{r}$  value and  $\Delta r$ .Fig. 3 Effect of  $\alpha/h_m$  on  $\bar{r}$  value.Fig. 4 Effect of  $\alpha/h_m$  on pole intensity.